

بررسی تأثیر شکستگی پره و بهم ریختگی جریان بر ضرب عملکرد جریان سنج توربینی با استفاده از شبیه‌سازی دینامیک

سیالات محاسباتی

احمد رستمی

آزمایشگاه تحقیقاتی دینامیک سیالات محاسباتی
دانشکده مهندسی شیمی، دانشگاه علم و صنعت ایران
rostami.farayand@gmail.com

سیدحسن هاشم‌آبادی*

آزمایشگاه تحقیقاتی دینامیک سیالات محاسباتی
دانشکده مهندسی شیمی، دانشگاه علم و صنعت ایران
hashemabadi@iust.ac.ir

تاریخ پذیرش: ۱۳۹۳/۰۳/۱۰

تاریخ دریافت: ۱۳۹۳/۰۲/۱۷

چکیده

در این مقاله با استفاده از شبیه‌سازی دینامیک سیالات محاسباتی^۱ آثار تغییر ساختار هندسی در اثر آسیب‌های فیزیکی در توربین و ایستانه^۲، همچنین تغییر توزیع جریان ورودی به‌خاطر نصب بد یا ایجاد اشکال در لوله‌های یکنواخت‌کننده^۳، بر دقت عملکرد جریان سنج توربینی بررسی شده است. برای این منظور، معادلات پیوستگی، مومنتوم و موازنۀ سرعت زاویه‌ای به‌همراه شرایط مرزی مناسب، به‌صورت عددی و با استفاده از روش حجم محدود در شرایط پایا حل شده‌اند. در شبیه‌سازی‌های انجام‌شده وابستگی میدان سرعت و فشار از طریق الگوریتم سیمپل^۴ برقرار می‌گردد. برای شبیه‌سازی اغتشاش جریان از مدل RNG-k-ε و برای انفال‌سازی ترم‌های جابه‌جایی از روش اختلاف بالادست درجه دوم استفاده شده است. نتایج به‌دست آمده نشان می‌دهد که تغییر هندسه و همچنین هرگونه به‌هم ریختگی در توزیع جریان ورودی به جریان سنج روی ضرب جریان سنج تأثیر می‌گذارد و سبب کم شدن دقت آن می‌شود.

واژگان کلیدی: جریان سنج توربینی، ضرب جریان سنج^۵، اندازه‌گیری، نفت خام، دینامیک سیالات محاسباتی

۱. مقدمه

نوع جریان سنج به دیگر جریان سنج‌ها بدلیل مزیت‌هایی چون سادگی در نصب و دقت بالای اندازه‌گیری ترجیح داده می‌شود. به‌همین دلیل این دستگاه اغلب برای اندازه‌گیری

جریان سنج توربینی از جمله انواع دستگاه‌های اندازه‌گیری است؛ دستگاهی که استفاده از آن بسیار مرسوم است. نخستین نوع آن در سال ۱۹۳۸ م اختراع شد. اغلب این



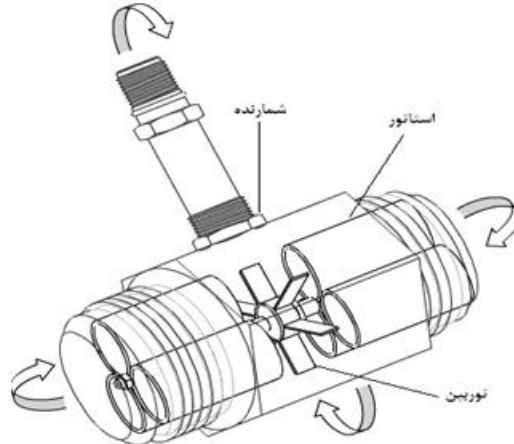
محاسباتی پرداخته شده است. نتایج این مطالعه نشان می‌دهد که تغییرات ضریب جریان‌سنج در دبی‌های پایین غیرخطی است و هرچه دبی بیشتر شود، این تغییرات نیز بهست خطی‌شدن پیش می‌رود [۶]. از دیگر کارهایی که در این زمینه انجام شده است، تخمین ضریب جریان‌سنج توربینی نوع محوری با استفاده از شبیه‌سازی عددی توسط گنگ^{۱۰} (۲۰۰۸ م) می‌باشد. در این مطالعه نیز تأثیر تغییرات دبی بر ضریب جریان‌سنج بررسی شده است. نتایج به دست آمده در این مطالعه نیز همانند نتایج مربوط به مطالعه قبل می‌باشد [۷]. در یکی دیگر از کارهای انجام‌شده اثر حفره‌زائی^{۱۱} بر ضریب عملکرد جریان‌سنج توسط گنگ بررسی شده است. نتایج این مطالعه نشان می‌دهد که پدیده حفره‌زائی بر عملکرد و دقت جریان‌سنج تأثیر زیادی دارد و باید در طراحی‌ها تا جایی که امکان دارد از به وجود آمدن این پدیده جلوگیری کرد.

تغییر عوامل گوناگون عملیاتی یا ترمودینامیکی بر دقت این نوع جریان‌سنج‌ها تأثیر می‌گذارد. در اینجا از ضریب جریان‌سنج به عنوان معیاری از دقت جریان‌سنج استفاده شده است. ضریب جریان‌سنج از رابطه ۱ به دست می‌آید.

$$M.F = \frac{Q_{Actual}}{Q_{Measured}} \quad (1)$$

در رابطه ۱ صورت کسر دبی واقعی جریان و مخرج کسر دبی اندازه‌گیری شده توسط جریان‌سنج می‌باشد. هر چقدر این مقدار به یک نزدیکتر باشد، دبی اندازه‌گیری شده به دبی واقعی نزدیکتر می‌شود و در نتیجه دقت جریان‌سنج بالاتر می‌رود. شاید تغییرات ضریب جریان‌سنج در یک واحد عملیاتی به نظر کم باشد، اما باید دقت شود همین تغییرات کم هم می‌تواند تأثیر زیادی بر اندازه‌گیری حجم سیال عبورکرده از جریان‌سنج داشته باشد. مثلاً اگر قرار باشد روزانه چهار میلیون بشکه نفت خام با میترهای توربینی دبی آن اندازه‌گیری شود و دقت میترها $2/0$ درصد (یعنی ضریب جریان‌سنج $1/0002$ یا $0/9998$) باشد، اختلاف مقدار اندازه گرفته شده ± 800 بشکه در روز و تقریباً 300 هزار بشکه در

مواد با ارزش همچون نفت خام، گاز و همچنین فراورده‌های نفت خام استفاده می‌شود. این نوع جریان‌سنج از نوع جریان‌سنج‌های سرعتی است که سرعت جریان سیال را اندازه‌گیری می‌کند. اجزای اصلی یک جریان‌سنج توربینی شامل توربین^{۱۲}، شافت، یاتاقان گرد، نگهدارنده شافت، بدنه و حسگر مغناطیسی^{۱۳} می‌باشد [۳-۱]. در این نوع جریان‌سنج‌ها، با استفاده از انرژی جنبشی جریان سیال توربین جریان‌سنج به چرخش درمی‌آید. پره‌های نصب شده روی توربین انرژی جنبشی سیال را به انرژی مکانیکی از نوع چرخشی تبدیل می‌کنند و سرعت دوران گردانه با سرعت حرکت سیال متناسب است. بنابراین با اندازه‌گیری سرعت دورانی توربین می‌توان به سرعت جریان سیال و در پی آن به دبی حجمی بی‌برد [۴-۵]. در شکل ۱ ساختار هندسی یک نمونه جریان‌سنج توربینی محوری نمایش داده شده است.



شکل ۱. ساختار هندسی یک جریان‌سنج توربینی [۴]

با وجود اهمیت صنعتی این گونه از جریان‌سنج‌ها، متأسفانه مقالات منتشرشده قابل استفاده در ارتباط با آنها زیاد نیست. در یکی از کارهای انجام‌شده توسط ونگ^{۱۴} (۲۰۰۷ م)، جریان‌سنج توربینی از نوع مماسی شبیه‌سازی شده و در آن به بررسی تأثیر تغییرات دبی بر ضریب جریان‌سنج^۹ و همچنین گشتاور تولیدشده توسط توربین در جریان‌سنج توربینی با استفاده از شبیه‌سازی دینامیک سیالات

سپس با استفاده از معادله ۴، که رابطه بین سرعت دوران و سرعت اندازه‌گیری شده توسط جریان‌سنجد را نشان می‌دهد، مقدار دبی اندازه‌گیری شده و سپس ضریب جریان‌سنجد را محاسبه کنیم [۹].

$$u = \frac{r\omega}{\tan \beta} \quad (4)$$

به طوری که در این رابطه r شعاع توربین و β زاویه پره‌های توربین با محور افق است. در این معادله از $u_{out,y}$ در مقابل $r\omega$ صرف‌نظر شده است. برای محاسبه سرعت دوران توربین از معادله موازنۀ ممنتوم زاویه‌ای استفاده می‌شود [۹].

$$I_{rotor} \frac{d\omega}{dt} = T_d - T_f \quad (5)$$

به طوری که در این رابطه I ممان اینرسی توربین، T_d نیروی گشتاور از طرف سیال بر توربین و T_f نیروی گشتاور اصطکاکی وارد بر توربین است. در این مقاله، شبیه‌سازی با فرض تراکم‌ناپذیری سیال و شرایط پایا انجام شده است. با توجه به این فرضیات، سمت چپ معادله ۵ صفر می‌شود و در نتیجه گشتاور عامل دوران و گشتاور اصطکاکی برابر می‌گردد [۹]:

$$T_d = T_f \quad (6)$$

شکل ۲ نمایی شماتیک از توربین جریان‌سنجد برای بررسی معادلات حاکم بر مسئله را نشان می‌دهد. هنگامی که جریان‌سنجد توربینی در حالت پایا باشد و هیچ‌گونه عامل ناپایدارکننده‌ای وجود نداشته باشد، همه نیروهای گشتاور وارد بر توربین جریان‌سنجد در همه زمان‌ها متعادل‌اند. بنابراین سرعت دوران توربین جریان‌سنجد ثابت است.

با در نظر گرفتن یک حجم کنترل از توربین به شعاع r و ضخامت معادلات dr نهایی با انتگرال‌گیری روی المان مورد نظر از R تا R_{tip} به دست می‌آید. از قانون بقای جرم داریم:

$$u_{in,x} dA_{in} = u_{out,x} dA_{out} \quad (7)$$

سال خواهد بود. چنان‌چه قیمت هر بشکه نفت ۸۰ دلار در نظر گرفته شود، اختلاف قیمت سالانه ۲۴ میلیون دلار خواهد بود که با توجه به خطای خیلی کم در نظر گرفته شده، مقدار نسبتاً زیادی می‌باشد. بنابراین افزایش یا کاهش دقیق جریان‌سنجد می‌تواند تأثیر قابل ملاحظه‌ای از نظر اقتصادی داشته باشد.

با توجه به اهمیت اندازه‌گیری و بالا بردن دقیق در معاملات فروش نفت و گاز در این مقاله تأثیر آسیب‌دیدگی پره‌های میتر توربینی و همین‌طور ایستانه بر دقیق اندازه‌گیری جریان‌سنجد توربینی با استفاده از شبیه‌سازی دینامیک سیالات محاسباتی بررسی شده است. آسیب‌دیدگی پره و ایستانه ممکن است در اثر برخورد اشیاء خارجی یا خوردگی به مرور زمان سیال ایجاد شود.

۲. مباحث نظری

برای به دست آوردن توزیع سرعت سیال در میتر توربینی، باید معادله پیوستگی و معادلات ممنتوم در سه جهت حل شوند [۸]:

$$\nabla \cdot u = 0 \quad (2)$$

$$\rho \nabla \cdot (uu) = -\nabla p + \nabla \cdot (\tau + \tau^+) + \rho g \quad (3)$$

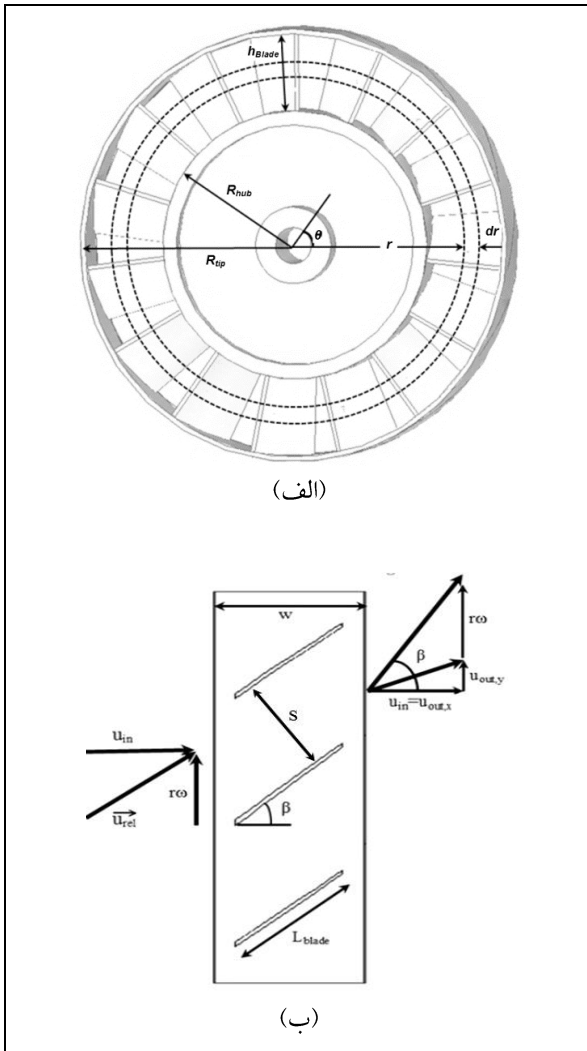


به طوری که در این روابط τ تنش ناشی از جریان ویسکوز و τ^+ تنش ناشی از اغتشاش یا همان تنش رینولدز است که در این شبیه‌سازی با استفاده از مدل اغتشاش RNG k-ε بدست آمده است [۸]. در این دیدگاه با حل معادلات انرژی جنبشی k و نرخ تلفات انرژی جنبشی ϵ مقدار گرانزوی اغتشاش به صورت زیر به دست می‌آید:

$$\mu_r = \rho C_\mu \frac{k^2}{\epsilon}$$

با تئوری بوسینسک مقدار مؤلفه‌های تانسور تنش توربولانسی τ^+ به دست می‌آید. با توجه به رابطه ۱ برای محاسبه دبی اندازه‌گیری شده، باید سرعت دوران توربین را با استفاده از معادلات حاکم و شبیه‌سازی به دست آوریم و

اصطکاکی آورده شده است. از برابری گشتاور عامل دوران با گشتاور اصطکاکی سرعت دوران توربین به دست می‌آید.



شکل ۲. توربین جریان‌سنج؛ (الف) سه بعدی، (ب) دو بعدی

۳. شرایط مرزی و شبیه‌سازی

در این مقاله جریان‌سنج توربینی ۱۲ اینچ در یک خط لوله شبیه‌سازی شده است. توربین جریان‌سنج دارای ۱۵ پره انحنایدار بوده و روی طوقه توربین ۶۸ نقطه مغناطیسی برای شمارش پالس ناشی از دوران وجود دارد. شکل ۳ و جدول ۱ مقادیر پارامترهای هندسی میتر توربینی مورد شبیه‌سازی در این مطالعه را نشان می‌دهد. شرط مرزی ورودی^{۱۲} و شرط مرزی فشار خروجی^{۱۳} برای جریان‌سنج اعمال شده

با توجه به اینکه سطح المان در ورودی و خروجی یکسان است، سرعت ورودی در جهت X در ورودی و خروجی به توربین یکسان می‌باشد. با استفاده از معادله مомنتوم مقدار نیروی وارد از طرف توربین به سیال با توجه به قسمت ب از شکل ۲ به دست می‌آید [۹].

$\rho((u_{out,y} + r\omega)u_{out,x}dA_{out} - u_{in,x}\omega rdA_{in}) = dF_{bf,y}$ به‌طوری که در این رابطه ρ دانسیته سیال و $dF_{bf,y}$ مقدار نیروی وارد از طرف توربین بر سیال در المان مورد نظر است. همچنین با توجه به قسمت ب از شکل ۲ داریم:

$$u_{out,y} = u_{out,x} \tan \beta - r\omega \quad (9)$$

به‌طوری که در این رابطه β زاویه پره با محور افقی است و به صورت زیر به دست می‌آید:

$$\tan \beta = \sqrt{(1.189 + 2.22(r - 0.0926)^2 - 1)}$$

مقدار نیروی وارد شده بر سیال در جهت y برابر است با [۹]:

$$\rho(u_{out,x}^2 \tan \beta dA_{out} - u_{in,x} \omega r dA_{in}) = dF_{bf,y}$$

نیرویی که سیال بر توربین وارد می‌کند، برابر نیروی فوق و در جهت عکس می‌باشد، بنابراین داریم:

$$dF_{bf,y} = -dF_{fb,y}$$

این نیرو سبب ایجاد یک گشتاور چرخشی در توربین می‌شود. گشتاور چرخشی در کل توربین به صورت زیر به دست می‌آید [۹]:

$$T_d = - \int_{R_{hub}}^{R_{tip}} \rho u_{out,x}^2 (\tan \beta) r dA_{out} + \int_{R_{hub}}^{R_{tip}} \rho u_{in,x} \omega r^2 dA_{in}$$

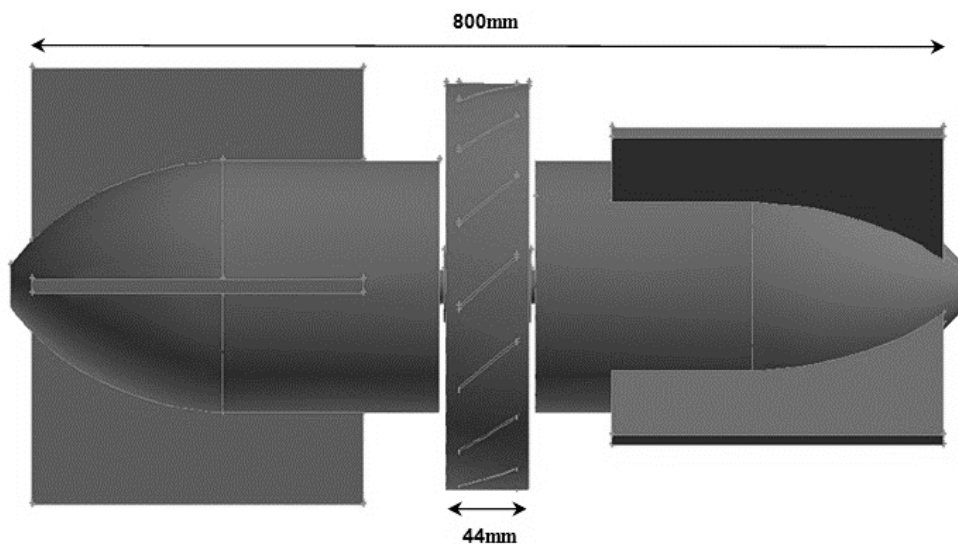
که R_{tip} و R_{hub} به ترتیب شعاع داخلی و خارجی حلقه توربین می‌باشند. مقدار گشتاور اصطکاکی نیز که در توربین به وجود می‌آید از معادله زیر به دست می‌آید.

$$T_f = R_{hub} \int_{A_{hub}} \tau_w dA + R_{tip} \left(\int_{A_{tip-in}} \tau_w dA + \int_{A_{tip-out}} \tau_w dA \right)$$

که در این رابطه τ_w تنش ایجاد شده روی حلقه پایینی و بالای توربین در اثر اصطکاک سیال با آن می‌باشد. باید توجه داشت که حلقه بیرونی توربین از دو طرف سیال روی آن اصطکاک ایجاد می‌نماید که در محاسبه گشتاور

جابه‌جایی از روش اختلاف بالادست^{۱۴} درجه دوم استفاده شده است. پس از حل معادله پیوستگی و معادلات مومنتوم توزیع سرعت نفت در میتر بهدست می‌آید. با استفاده از شبیه‌سازی، از معادله ۶ مقدار سرعت دوران توربین بهصورت حدس و خطابه بهدست می‌آید و با قرار دادن آن در معادله ۴ مقدار سرعت اندازه گرفته شده و از آنجا ضریب جریان‌سنجد بهدست می‌آید.

است. معادلات حاکم بههمراه شرایط مرزی بهصورت عددی و با استفاده از روش حجم محدود حل می‌شوند. سیال مورد استفاده در شبیه‌سازی نفت سنگین در دمای ۷۹/۶ درجه فانهایت (جرم حجمی ۸۶۹/۱۶ کیلوگرم بر متر مکعب و گرانوی ۰/۰۱۵۳ کیلوگرم بر ثانیه) می‌باشد. وابستگی میدان سرعت و فشار از طریق الگوریتم سیمپل برقرار می‌شود. برای انفالسازی ترم‌های



شکل ۳. ابعاد هندسی جریان‌سنجد

جدول ۱. مشخصات هندسی جریان‌سنجد توربینی مدل K2DKAXXX03001

| L _{blade} | R _{tip} | W | R _{hub} | h _{blade} | S |
|--------------------|------------------|-------------|------------------|--------------------|-------------|
| ۵۷/۶ میلی‌متر | ۵۱۴۶ میلی‌متر | ۴۴ میلی‌متر | ۹۲/۶ میلی‌متر | ۵۳/۶۵ میلی‌متر | ۴۲ میلی‌متر |

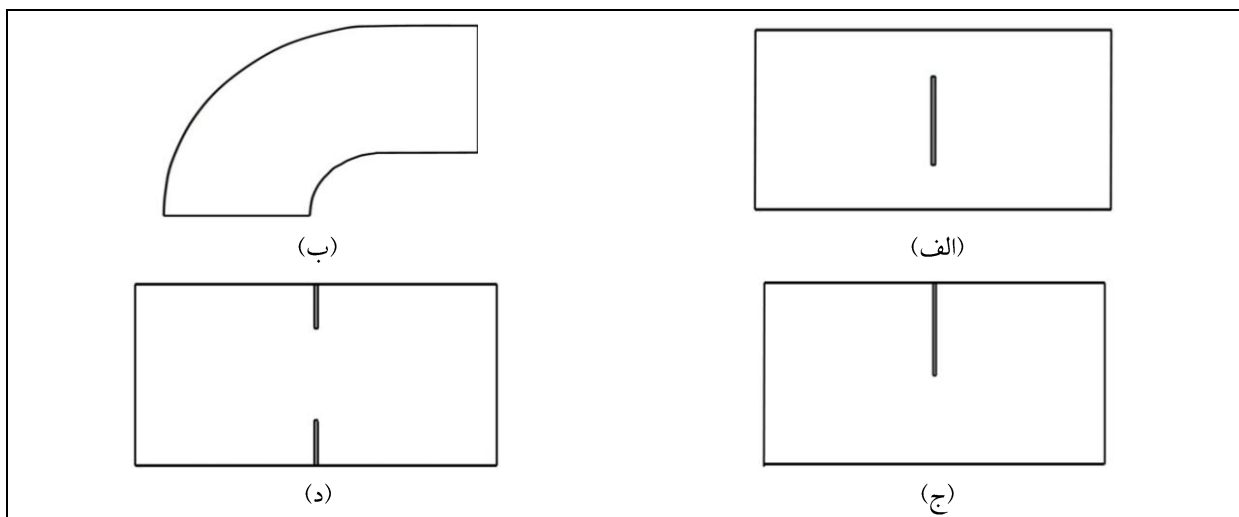
در اینجا بهصورت نمونه چند مانع مختلف بهصورت نشان داده در شکل ۴ در نظر گرفته شده است. با قرار دادن این موانع (شکل ۴) در برابر جریان، توزیع جریان ورودی به توربین جریان‌سنجد تغییر کرده و از حالت یکنواخت خارج می‌شود. شکل ۵ کانتور سرعت ورودی به جریان‌سنجد را در دبی ۱۳۶۸۲ بشکه بر ساعت، بعد از موانع نشان می‌دهد.

۴. تجزیه و تحلیل نتایج ۴-۱. تأثیر توزیع جریان ورودی بر میتر فاکتور جریان‌سنجد

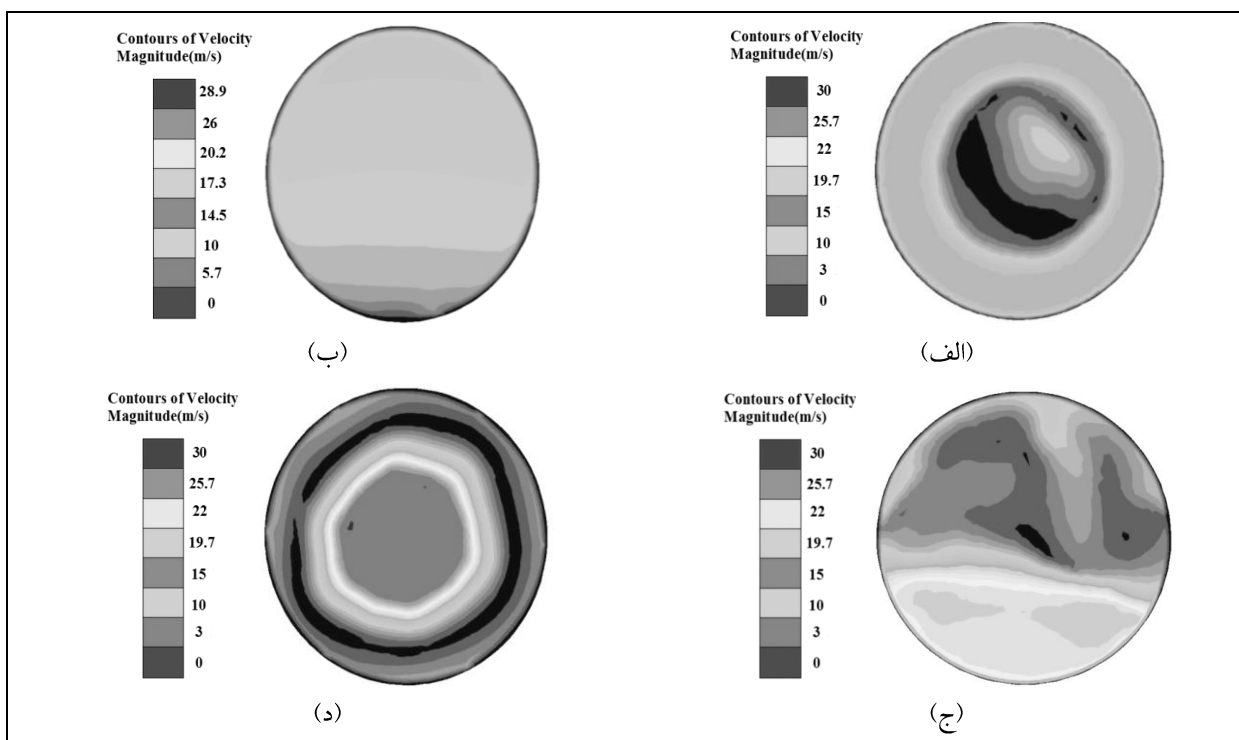
در اثر نصب نامناسب جریان‌سنجد در خط یا آسیب‌دیدگی اجزاء قبل از جریان‌سنجد توزیع جریان ورودی به آن از حالت یکنواخت خارج می‌شود. بحث این است جریان‌سنجد چقدر نسبت به تغییرات توزیع جریان ورودی حساسیت دارد. لذا

مشخص است، جریان بیشتر تمایل دارد به سمت بالای لوله حرکت کند. همچنین در شکل‌های ج و د از شکل ۵ به ترتیب توزیع نشان داده شده مربوط به حالتی است که یک اریفیس نیم‌دایره و یک اریفیس دایره‌ای توخالی در جلوی جریان قرار داده شده‌اند. نتایج شبیه سازی برای توزیع‌های مختلف جریان در جدول ۲ آورده شده است.

در قسمت الف از شکل ۵ کانتور نشان داده شده مربوط به حالتی است که یک مانع استوانه‌ای با ضخامت کم در جلوی جریان قرار دارد. این مانع باعث می‌شود که جریان به هم بریزد و از حالت یکنواخت خارج شود. کانتور مربوط به قسمت ب از شکل ۵ در اثر وجود زانویی قبل از جریان سنج به وجود آمده است. همان‌طور که از این شکل



شکل ۴. انواع مختلف موانع در مقابل جریان ورودی



شکل ۵. کانتورهای مختلف جریان ورودی به جریان سنج

جدول ۲. میتر فاکتور حاصل از نتایج شبیه‌سازی برای انواع توزیع جریان ورودی

| درصد خطای اندازه‌گیری (درصد) | ضریب جریان سنج (شبیه‌سازی) | دبی اندازه‌گیری شده (بشکه بر ساعت) ^(۱۵) | سرعت دوران (رادیان بر ثانیه) | نوع توزیع |
|------------------------------|----------------------------|--|------------------------------|-----------|
| ۱/۴ | ۰/۹۸۶۱ | ۱۳۸۷۴/۹ | ۸۳/۱۷۷۶ | یکنواخت |
| ۲/۴ | ۰/۹۷۶۰ | ۱۴۰۱۳ | ۸۴/۰۱ | الف |
| ۱/۶ | ۰/۹۸۴۰ | ۱۳۸۹۶/۱ | ۸۳/۳ | ب |
| ۱/۸ | ۰/۹۸۲۰ | ۱۳۹۳۱/۱ | ۸۳/۵۱ | ج |
| ۱/۴۸ | ۰/۹۸۵۲ | ۱۳۸۸۷/۸ | ۸۳/۲۵ | د |

یکنواخت‌کننده جریان گرفته شود. کانتور قسمت د از شکل ۵ ممکن است زمانی اتفاق بیافتد که لوله‌های یکنواخت‌کننده کنار دیواره لوله گرفته شود.

۴-۲. تأثیر شکستگی پره‌های توربین و نگهدارنده بر میتر فاکتور جریان سنج

با توجه به نتایج آزمایشگاهی بدست آمده شکستگی در پره نگهدارنده و توربین حدود ۲ درصد خطا در اندازه‌گیری جریان توسط جریان سنج ایجاد می‌کند. در این قسمت با استفاده از شبیه‌سازی دینامیک سیالات محاسباتی تأثیر این عامل مهم بر ضریب جریان سنج بررسی شده است. قسمت الف از شکل ۶ پره توربین صدمه‌دیده و قسمت ب پره نگهدارنده صدمه‌دیده را نشان می‌دهد.

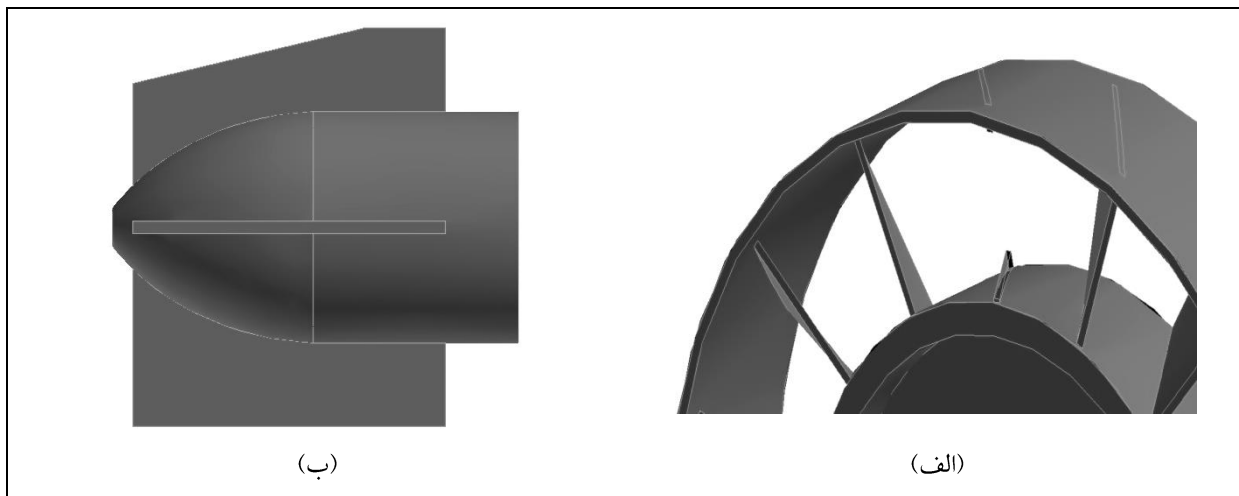
البته شکستگی ایجادشده فرضی است و ممکن است در واقعیت چنین شکستگی‌های وجود نداشته باشد. نتایج بدست آمده از شبیه‌سازی در جدول ۴ ذکر شده است. سیال مورد استفاده در این قسمت نفت سنگین در دمای ۷۹/۶ درجه فارنهایت و دبی ۱۳۶۸۲ بشکه بر ساعت می‌باشد. همان‌گونه که از جدول ۴ مشخص است، شکستگی در پره نگهدارنده، بر ضریب جریان سنج تأثیر بیشتری می‌گذارد که دلیل آن کاهش زیاد سرعت دوران توربین می‌باشد. با توجه به اینکه چرخش توربین ناشی از انتقال نیروی سیال به پره‌های توربین است و در اینجا یکی از پره‌های توربین

همان‌گونه که از جدول ۲ مشخص است، ضریب جریان سنج برای حالت‌های گوناگون از توزیع جریان تغییر می‌کند و این باعث ایجاد خطا در اندازه‌گیری دبی جریان توسط جریان سنج می‌شود. در قسمت الف از شکل ۶ با توجه به اینکه سرعت جریان در کنار لوله بیشتر است و پره‌های توربین هم در همان موقعیت می‌باشند، سیال نیروی بیشتری بر پره وارد می‌کند و این سبب می‌شود که توربین با سرعت بیشتری بچرخد و در نتیجه میتر فاکتور جریان سنج کاهش یابد. این حالت ممکن است زمانی در جریان سنج اتفاق بیافتد که لوله‌های وسطی یکنواخت‌کننده جریان گرفته شود. با توجه به اینکه کانتور قسمت ب از شکل ۶ تقریباً با توزیع حالت یکنواخت یکسان می‌باشد، در نتیجه سرعت دوران در هردو حالت تقریباً یکسان است. وقتی جریان سنج در موقعیتی خارج از موقعیت اصلی خود نصب شود، ممکن است توزیع جریان ورودی به جریان سنج یکنواخت نباشد و سبب ایجاد خطا در اندازه‌گیری دبی توسط جریان سنج شود. قسمت ب از شکل ۵ تقریباً چنین حالتی را برای جریان سنج بیان می‌کند. در بخش ج از شکل ۵ سرعت سیال در نیمه پایینی لوله بیشتر از نیمه بالای آن می‌باشد پس در نتیجه نیروی وارد بر پره‌های پایینی توربین نسبت به پره‌های بالای آن بیشتر می‌باشد و این باعث ایجاد شوک بر پره‌های توربین و در نتیجه خرابی و یا احتمالاً شکستن آن شود. این حالت ممکن است زمانی برای جریان سنج اتفاق بیافتد که لوله‌های بالای



آشفتگی در جریان ایجاد می‌کند و با توجه به اینکه دبی سیال خیلی زیاد است، این آشفتگی تأثیر چندانی بر سرعت دوران توربین ندارد.

شکسته شده است در نتیجه این نیرو به مقدار قابل توجهی کاهش می‌یابد و سبب کاهش سرعت دوران توربین می‌شود. شکستگی در پره نگهدارنده بهمیزان بسیار کمی



شکل ۶. نمایی از

الف) پره توربین صدمه‌دیده، ب) پره نگهدارنده صدمه‌دیده

جدول ۴. میتر فاکتور به دست آمده از نتایج شبیه‌سازی در وضعیت‌های مختلف جریان‌سنج برای نفت سنگین

(Q=13682 bbl.hr-1, T=79/6°F)

| وضعیت جریان‌سنج | سرعت دوران (رادیان بر ثانیه) | دبی اندازه‌گیری شده (متر مکعب بر ثانیه) | ضریب جریان‌سنج شبیه‌سازی | درصد خطای اندازه‌گیری (درصد) |
|---------------------|---------------------------------|--|-----------------------------|---------------------------------|
| سالم | ۸۳/۱۷۷۶ | ۱۳۸۷۴/۹ | ۰/۹۸۶۱۰ | ۰/۲۵ |
| پره توربین شکسته | ۸۰/۷۳ | ۱۳۴۶۷/۴ | ۱/۰۲ | ۲ |
| پره نگهدارنده شکسته | ۸۳/۲۹ | ۱۳۸۹۴/۴ | ۰/۹۸۵ | ۱/۵ |

۵. نتیجه‌گیری

پره‌های توربین و نگهدارنده بر ضریب جریان‌سنج تأثیر می‌گذارد و سبب کاهش ضریب و در نتیجه دقت آن می‌شود.

۶. قدردانی

در پایان بحاست تا از حمایت مالی شرکت پایانه‌های نفتی ایران قدردانی شود.

در این مقاله جریان‌سنج توربینی نفت خام با استفاده از روش دینامیک سیالات محاسباتی شبیه‌سازی و اثر تغییر دو پارامتر مهم توزیع جریان ورودی و صدمه‌دیدن پره‌های توربین و نگهدارنده بر دقت آن بررسی شد. نتایج نشان می‌دهد که تغییر توزیع جریان از حالت یکنواخت به حالت آشفته تأثیر زیادی بر ضریب جریان‌سنج می‌گذارد و بسته به نوع تغییر توزیع جریان این تأثیر می‌تواند کم یا زیاد باشد. همچنین تغییر در هندسه جریان‌سنج و شکستگی در

۷. فهرست علائم و نشانه‌ها

| | |
|--------------|---|
| A | سطح مقطع ^{۱۶} |
| $F_{bf,y}$ | نیروی وارد از طرف پره بر سیال ^{۱۷} |
| h_{blade} | ارتفاع پره توربین ^{۱۸} |
| k | انرژی جنبشی |
| L_{blade} | طول پره توربین ^{۱۹} |
| p | فشار |
| r | شعاع توربین |
| R_{hub} | شعاع توربین در ابتدای پره و روی نگهدارنده ^{۲۰} |
| R_{tip} | شعاع توربین در انتهای پره ^{۲۱} |
| T_d | گشتاور چرخشی ^{۲۲} |
| T_f | گشتاور نیروی اصطکاکی ^{۲۳} |
| u_{in} | سرعت ورودی به توربین جریان سنج و در جهت محور توربین ^{۲۴} |
| u_{out} | سرعت خروجی از توربین جریان سنج و در جهت محور توربین ^{۲۵} |
| w | پهنهای توربین ^{۲۶} |
| ρ | چگالی |
| ω | سرعت دوران |
| β | زاویه پره توربین با محور افق ^{۲۷} |
| ϵ | نرخ تلفات انرژی جنبشی ^{۲۸} |
| μ_t | ویسکوزیته اغتشاش |
| τ | تنش ناشی از جریان ویسکوز |
| $\dot{\tau}$ | تنش ناشی از اغتشاش |
| I_{rotor} | ممان اینرسی |
| τ_w | تنش بر روی دیواره ^{۲۹} |
| S | طول عمود بین دو پره |

۷. مأخذ

- [1] R.W. Miller. *Flow measurement engineering handbook*, McGraw-Hill Book Company, 1996.
- [2] RC. Baker, “Turbine Flow meters”, *Theoretical and experimental published information, Flow Measurement and Instrumentation*, 1993, pp. 123-144.
- [3] F. M. White, *Fluid Mechanics*, University of Rhode Island, Fourth Edition, 2010.
- [4] J. Harshman, *Turbine Meters for Liquid Measurement*, Senior Product Engineer, 2007.
- [5] D. Sextro, *Application of turbine meters in liquid measurement*, Dynegy Midstream Services, 2003.
- [6] Wang Zhen, “Computational study of the tangential type turbine flowmeter”, *Flow Measurement and Instrumentation*, 19, 1998, pp. 233-239.



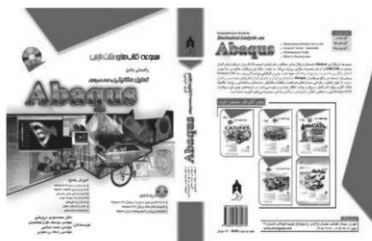
- [7] Gang Chen, "Prediction on meter factor of the turbine flow meter with unsteady numerical simulation", *ASME Fluids Engineering Conference*, Florida, USA, 2008.
- [8] Vivek V. Ranade, *Computational flow modeling for chemical reactor engineering*, Industrial Flow Modeling Group, 2002.
- [9] P.W. Stoltenkamp. *Dynamics of turbine flow meters*, Technische Universiteit Eindhoven, 2007.

پی‌نوشت

- | | |
|---|--|
| 1. Computational Fluid Dynamic | 15. Barrel per hour |
| 2. Stator | 16. cross-sectional area |
| 3. Straightener | 17. force imposed on the fluid by the body |
| 4. Semi-Implicit Method for Pressure-Linked Equations | 18. height of a rotor blade |
| 5. Meter Factor | 19. chord length of a rotor blade |
| 6. Rotor | 20. radius of the hub |
| 7. Pickup Coil | 21. radius at the tip of the rotor blade |
| 8. Wang Zhen | 22. driving torque |
| 9. K-factor | 23. total friction torque |
| 10. Gang Cheng | 24. inlet velocity |
| 11. Cavitation | 25. outlet velocity |
| 12. Mass flow inlet | 26. width |
| 13. Pressure Outlet | 27. angle of rotor blade with resect to the rotor axis |
| 14. Upwind | 28. dissipation rate |
| | 29. shear stress at the wall |



دانشگاه مکانیک / شماره ۱۰ / سال دهم و نهم / ایران



گروه آموزشی - پژوهشی فرادرید



برگزار می کند:

- ✓ دوره کاربردی و پروژه محور ABAQUS توسط مهندس جمشیدی مولف کتاب مثلث نارنجی.
- ✓ فارغ التحصیل دانشگاه صنعتی امیرکبیر
- ✓ دوره های آموزشی نرم افزارهای فنی مهندسی (مکانیک، هوافضا، عمران و ...)
- ✓ دوره های آموزشی تخصصی (مبانی روش اجزای محدود، مکانیک مواد مرکب و تئوری الاستیسیته توسط مهندس جمشیدی مولف کتاب الاستیسیته مهندسی)
- ✓ کارگاه های آموزشی یک روزه و دوره های ویژه جهت شرکت ها، سازمان ها و موسسات
- ✓ مشاوره و اجرای پروژه های صنعتی و دانشگاهی، تدوین مقالات توسط فارغ التحصیلان دانشگاه های برتر تهران

دورنگار: ۷۷۷۲۲۳۷۸

تلفن: ۷۷۹۴۸۸۶۳ - ۷۷۹۲۵۲۹۸

Website: www.fem-co.com

Email: info@fem-co.com